



济小台——基于无剑 100 SoC 的安防监控云台

李珈毅¹, 李伟博², 翁锦煜³, 张志明⁴
(同济大学电子与信息工程学院, 上海 200092)

摘要:“济小台”电动云台系统, 采用 57/42 步进电机控制两个方向的转动, 可以在 360 度全方位大空间中快速精确运转, 监控范围大、可搭载重负载, 进行精确快速监视、物体捕捉或者用于移动场景下的增稳控制, 适用于仿生机器人的头部运动单元等多种应用场合, 是一款高度灵活精准的电动云台。系统具有如下特点: 高达 1.4ms/deg 的运行速度, 0.1°的控制精度; 使用无剑 100 SoC 作为主控核心, 系统快速灵活编程; 通过蓝牙按键等外设实时交互控制云台姿态; 状态锁定自校准功能锁定目标角度, 降低外界干扰。

关键词: 电动云台; 步进电机; 无剑 100 SOC;

0 引言

云台是安装、固定摄像机的支撑设备, 已在多种实际应用场景下得到应用^[1], 例如监控、安防、测控、测绘、机器视觉等, 按其安装方式可分为固定云台和移动云台两种。移动云台在控制信号的作用下, 云台变化运动状态以扩大所安装摄像机的监视范围, 更适用于对大范围进行扫描监视。目前根据不同的应用环境, 云台使用的驱动部件类型主要有, 舵机、直流无刷电机、步进电机、交流电机等, 各有优势。其中步进电机式云台相比其它方案, 具有以下优点: 使用简单输入脉冲即可控制、程序开发成本低、开环控制也能获得较高精度、可同时获得控制精度和低延迟、低速环境下扭矩大, 带载能力强、不易损坏, 维修成本低。本文介绍在无剑 100 开源平台上开发与实现“济小台”步进电机云台的方法和流程。

1 系统硬件方案设计

1.1 方案概述

本文基于平头哥无剑 100 开源平台^[2]设计, 其支持通过 EDA 工具进行前端仿真和制作可编程逻辑器件 (FPGA) 进行测试。系统总体构造框图如图 1 中所示, 主控核心硬件为主控 FMX7AR3B 开发板^[3-4], 动力单元由两台 57/42 步进电

¹参赛队员, 电子科学与技术系 2016 级本科生, 研发组长。主要负责方案设计、研发, 技术报告撰写等。

²参赛队员, 电子科学与技术系 2016 级本科生, 技术骨干。主要负责原型系统开发调试、技术细节优化等。

³参赛队员, 电子科学与技术系 2017 级本科生, 技术骨干。主要负责产品设计、技术细节优化等。

⁴指导教师, 电子与信息工程学院, 工学博士, 讲师, 研究方向: 检测技术与自动化装置等。



机、电源供应和信号传输电路板、蓝牙模块、OLED 模块等组成。所设计与实现的原型系统实物照片如图 2 中所示，多角度展示整机系统的硬件结构。

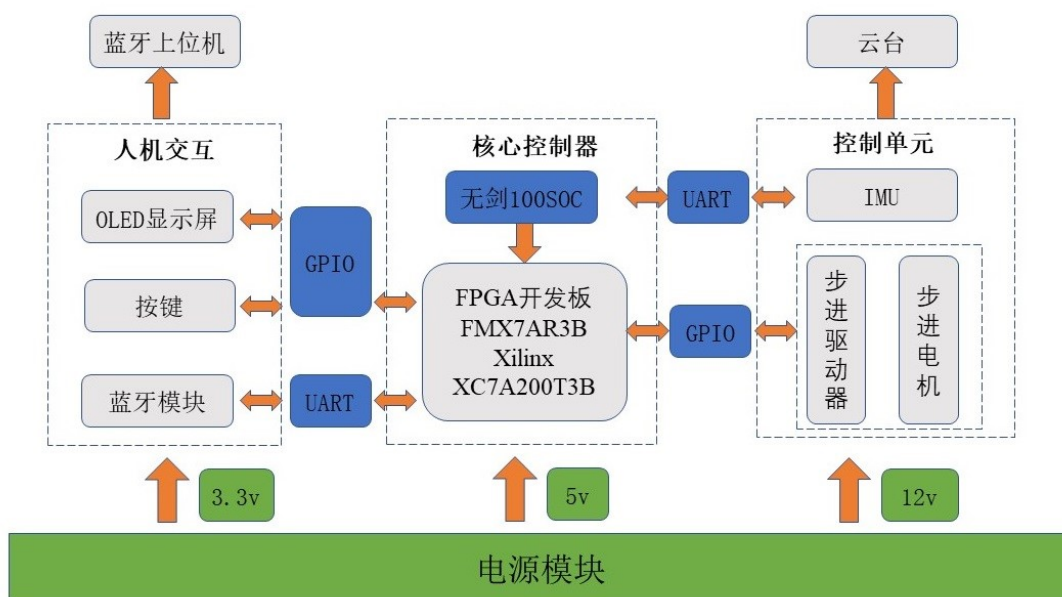


图 1 系统总体构造框图

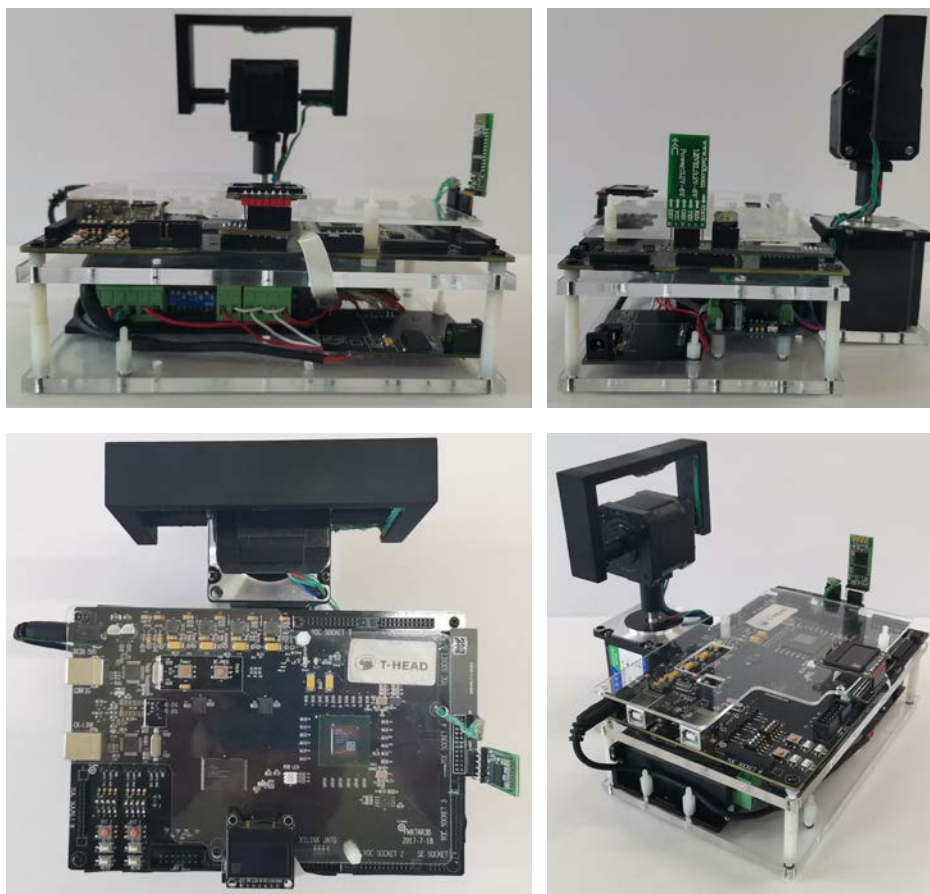


图 2 原型系统实物照片



图 4 稳压供电及转接板 PCB 实物照片

1.2.2 云台驱动设计

云台驱动方案设计框图如图 5 中所示，中央控制器采用采用平头哥开源无剑 100 SoC。该 MCU 含有 32 个通用输入/输出（GPIO）口、12 个脉冲宽度调制（PWM）输入输出口、3 个可复用的串口/SPI/IIC 的外设资源。

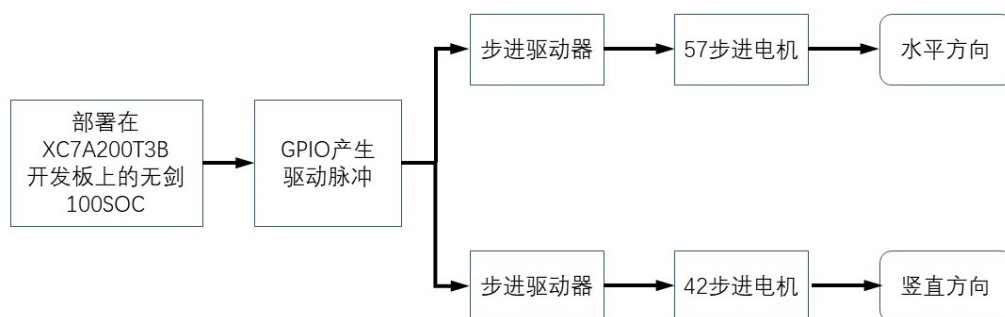


图 5 驱动方案系统框图

动力系统如图 6 所示，由一个普菲德 57 步进电机和一个 42 步进电机构成，通过两个细分高达 25600，电流范围为 1.0~4.2A，工作电压为 DC 9~42V 的 DM542 步进驱动器分别与无剑 100 SoC 连接，连接方式为共阳极连接。步进使用 6400 细分，即步距角为 $360^\circ/6400 = 0.05625^\circ$ ，搭配 S 曲线算法，空载电机角度控制精度可达 0.1°。

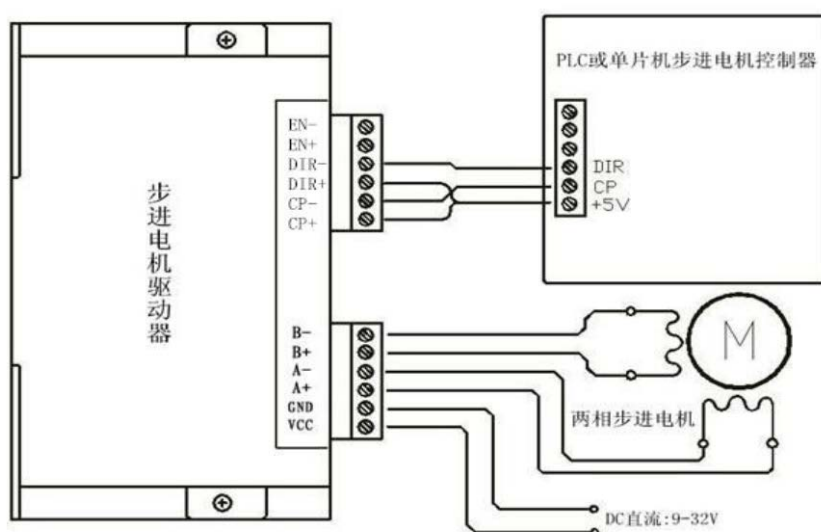
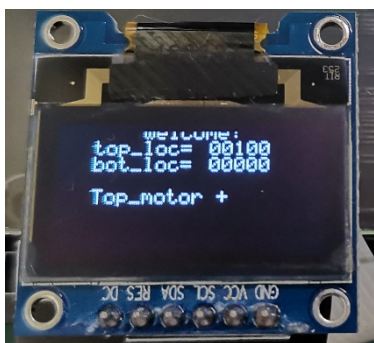


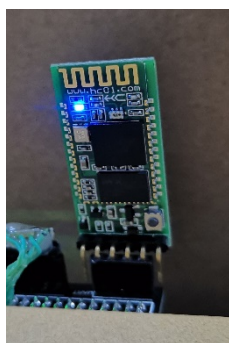
图 6 控制器、驱动器以及电机的总体连接方式

1.2.3 外设功能模块

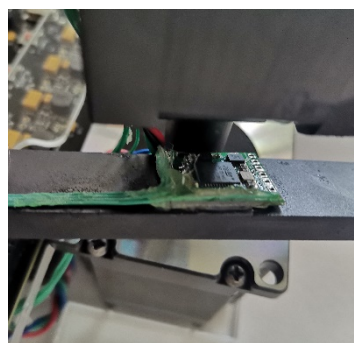
外设包括开发板上的按键、用于显示控制器内部运行状态的 OLED 显示模块、用于无线通讯的蓝牙模块^[5]以及获取三维角度信息的 IMU 模块^[6]等。OLED 使用 SPI 协议进行指令控制和数据读写；蓝牙模块和 IMU 模块则是通过串口与主控制器进行通信。外设均通过 2.2 节中设计的转接板与中央控制器连接。



(a) OLED 显示屏



(b) 蓝牙模块



(c) 固定安装的 IMU

图 7 云台系统附属外设功能模块

2 比特流生成及无剑 100 的 FPGA 实现

本团队在 Lianglonghui 的博文^[7]基础上，进一步完善和改进，成功生成比特流文件，并撰写英文版教程发布在 jiayi's blog 公开^[8]，其流程环节简要介绍如下。



首先将设计源文件及约束文件加入源文件目录；随后增加图 8 中所示的代码块以创建系统时钟；最后综合生成比特流文件。

```
create_clock -name {EHS} [get_ports PIN_EHS] -period 50 -waveform {0 25}
create_clock -name {JTAG_CLK} [get_ports PAD_JTAG_TCLK] -period 1000 -waveform {0 500}

set_clock_groups -asynchronous -name {clkgroup_1} -group [get_clocks {EHS JTAG_CLK}]

set_false_path -through [get_ports PIN_EHS]

#set_clock_groups -name {Inferred_clkgroup_0} -asynchronous -group [get_clocks
{wujian100_open_top|PAD_JTAG_TCLK}]

set_property ASYNC_REG TRUE [get_cells
{x_aou_top/x_rtc0_sec_top/x_rtc_pdu_top/x_rtc_clr_sync/pclk_load_sync2_reg}]
set_property ASYNC_REG TRUE [get_cells
{x_aou_top/x_rtc0_sec_top/x_rtc_pdu_top/x_rtc_clr_sync/rtc_load_sync2_reg}]
set_property ASYNC_REG TRUE [get_cells
{x_aou_top/x_rtc0_sec_top/x_rtc_pdu_top/x_rtc_clr_sync/pclk_load_sync1_reg}]
set_property ASYNC_REG TRUE [get_cells
{x_aou_top/x_rtc0_sec_top/x_rtc_pdu_top/x_rtc_clr_sync/rtc_load_sync1_reg}]
set_property ASYNC_REG TRUE [get_cells {x_cpu_top/CPU/x_cr_had_top/A15d/A74/A10b_reg}]
set_property ASYNC_REG TRUE [get_cells {x_cpu_top/CPU/x_cr_had_top/A15d/A74/A18597_reg}]
set_property ASYNC_REG TRUE [get_cells {x_cpu_top/CPU/x_cr_had_top/A15d/A1862d/A10b_reg}]
set_property ASYNC_REG TRUE [get_cells
{x_cpu_top/CPU/x_cr_had_top/A15d/A1862d/A18597_reg}]
set_property ASYNC_REG TRUE [get_cells {x_cpu_top/CPU/x_cr_had_top/A15d/A75/A10b_reg}]
set_property ASYNC_REG TRUE [get_cells {x_cpu_top/CPU/x_cr_had_top/A15d/A75/A18597_reg}]
```

图 8 时序约束语句

资源消耗如表 1 中所示，动态与静态功率消耗如图 9 所示，FPGA 版图设计实现如图 10 所示。

表 1 无剑 100 的资源消耗统计表

资源名称	使用数量	总共可用	利用率（百分比%）
LUT	26744	133800	19.99
LUTRAM	72	46200	0.16
FF	13415	267600	5.01
BRAM	64	365	17.53
IO	62	285	21.75
BUFG	2	32	6.25

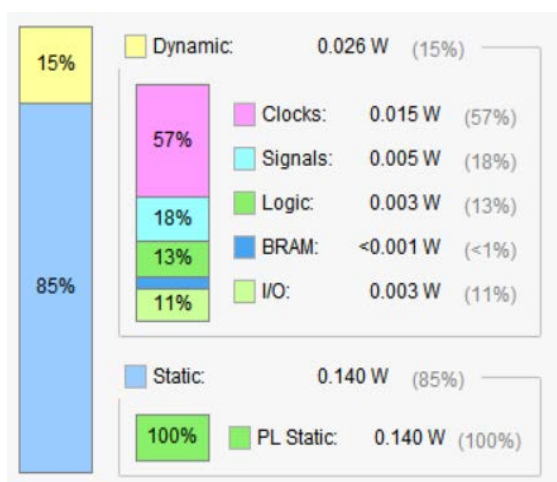


图 9 功率消耗示意图

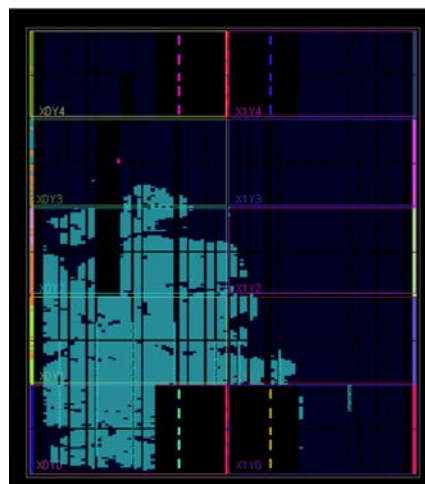


图 10 FPGA 版图

FPGA 的配置方式有三种:主动串行配置模式(AS),被动串行配置模式(PS),JTAG 模式,本方案中分别采用 PS 模式和 AS 模式进行比特流文件的配置。后者利用板载的16MB FLASH进行配置,即把比特流文件转换为mcs文件烧入FLASH中。FPGA 上电后按下RE_PROG使用主控制器从 FLASH 中读取数据进行配置。综合两种配置方式,使用 FLASH 的 AS 模式配置成功率高。因此本方案选择使用该配置方案。

3 程序运行流程

系统程序运行流程如图 11 所示。首先连接电源,按下RE_PROG键后,FPGA 主动读取 FLASH 中的数据进行配置,等待 LED D3 亮起即为配置成功,再连接 USB 线通过电脑端的 CDK 进行调试。主函数初始化 GPIO 和 UART 后,设置串口UART0和UART1通过中断触发读取 FIFO 的方式,按键通过外部中断触发读取,OLED 通过 GPIO 模拟 SPI 协议进行控制显示。串口UART0接收到来自蓝牙的指令后,首先解析指令翻译成电机片选序号及其旋转方向和脉冲数量,之后在主循环进行电机控制,使用通用输入/输出接口(GPIO)产生固定数量的脉冲(PWM)和方向控制信号输入到步进驱动器中,达到控制目的。并通过 OLED 显示电机当前的位置,可以起到验证指令解析是否正确和记录云台位置的作用。在用户指令解析、执行完毕后保持的时间内,串口UART1以 10Hz 的频率接收来自 IMU 的欧拉角数据,并计算判断出当前电机是否有位置的偏移,同时进行实时调整,保



持云台的稳定。

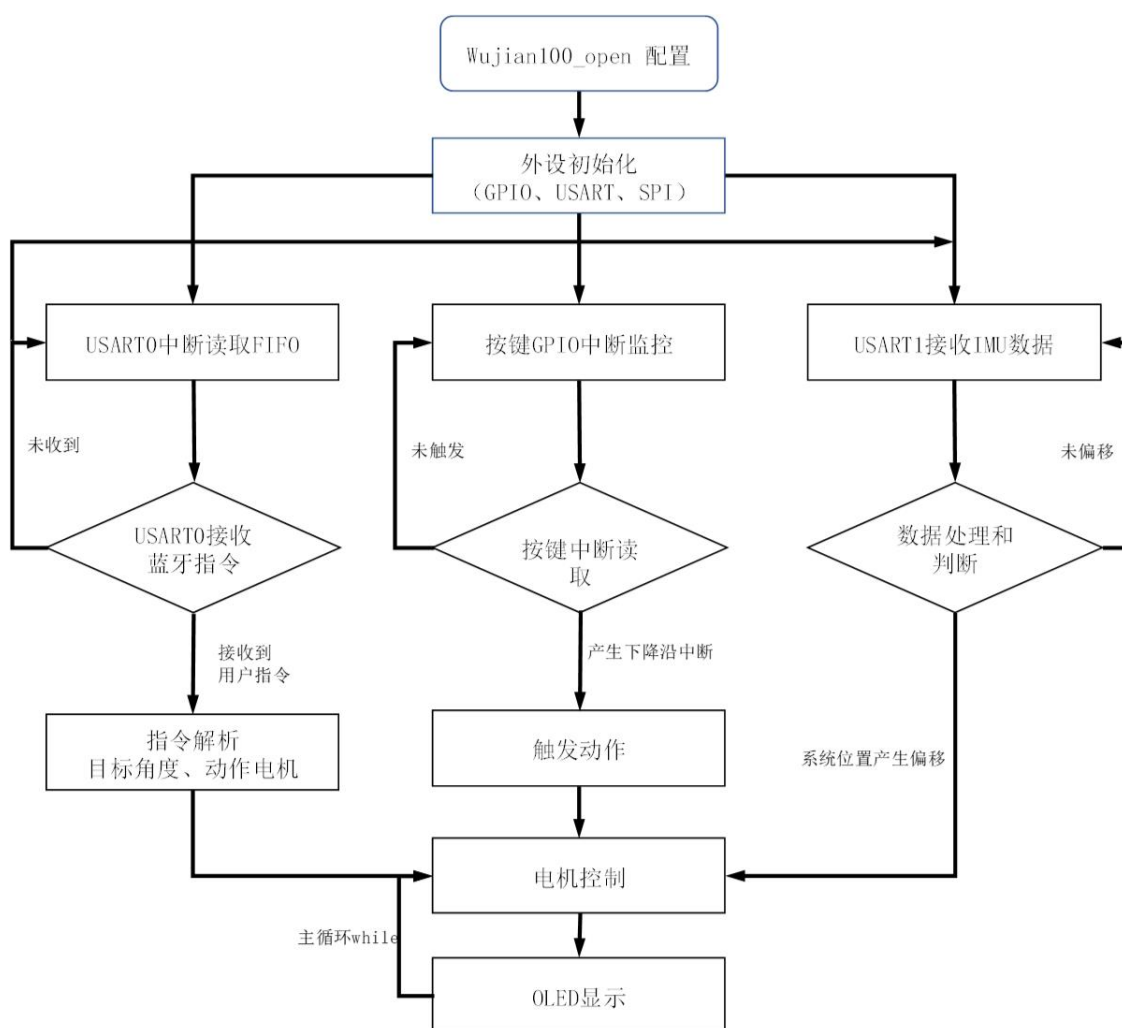


图 11 程序流程图

4 电机驱动和状态锁定自校准算法

4.1 电机驱动 S 曲线算法

由于步进电机在启动时由于需要的加速电流较大，线性度不够，会导致启动慢、丢步；在停止时会出现过冲。所以需要对步进电机启动和停止时的加速度、速度作合理的规划^[9-10]。步进电机的驱动信号可以分为脉冲信号和方向控制信号。其中方向控制信号使用一个 GPIO 产生，输出高电平可使得电机向预设正方向旋转，反之同理。步进电机按步长方式进行运动，每一步及对应一个脉冲。本设计使用 S 曲线加减速控制算法。该算法下的电机加速度和速度变化较为平稳且收



敛较快。如图 12 所示，这里采用的是五段式 S 曲线^[11-12]，即在从启动到停止整个运动过程中电机的加速度可分为 5 个线性段。

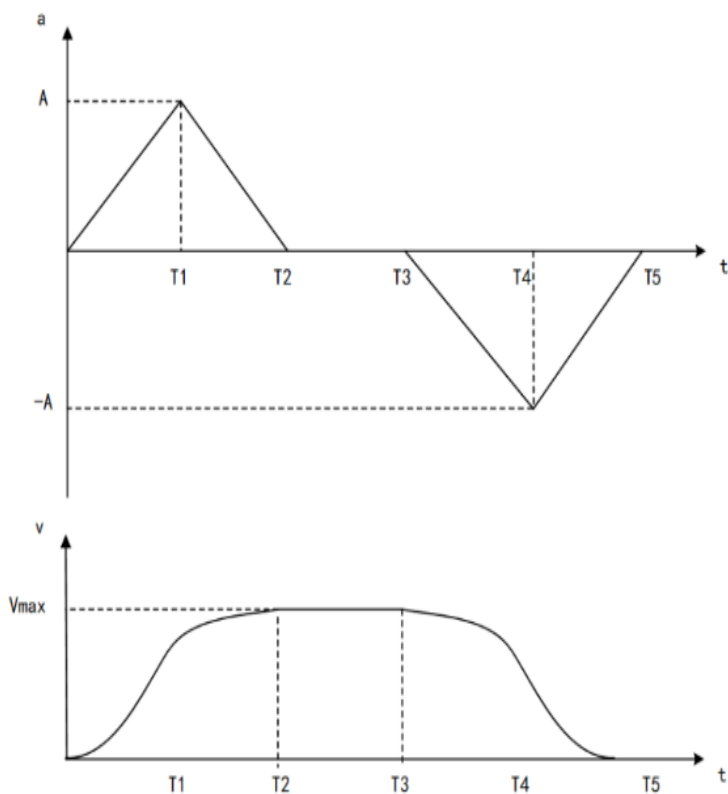


图 12 S 曲线算法示意图

设 v 为步进电机的稳定运动速度，即 S 曲线中的最大速度；最大加速度为 A ，最小加速度为 $-A$ ，最大速度为 V_{max} ，加速度线性系数为 k 。则整个运动过程可分为 5 段，如表 2 所示。

表 2 运动过程中加速度与速度的变化

时间	加速度 $A(m/s^2)$	速度 $v(m/s)$	
1	kt	$\frac{1}{2}kt^2$	(1)
2	$A - kt$	$\frac{1}{2}At_1^2 + \frac{1}{2}(2A - kt) \cdot (t - t_1)$	(2)
3	0	$V_{max} = \frac{1}{2}At_2$	(3)
4	$-kT + kt_3$	$V_{max} - \frac{1}{2}(t - t_3)(kt_3 - kt)$	(4)
5	$kt - kt_5$	$V_{max} - \frac{1}{2}A(t_4 - t_3) - \frac{1}{2}(kT - kt_5 + A)(T - t_4)$	(5)



步进电机启动加速度的大小和脉冲频率有着直接关系。设脉冲频率和加速度存在线性相关关系，可以使用脉冲频率 f 代替加速度。经过实际带载测试和迭代求解，本方案中关于 S 曲线中各参数的详细配置为：步进驱动器选择 6400 细分，计算可得 1 个脉冲对应的步进角为

$$\frac{360}{6400} = 0.05625^\circ \quad (6)$$

假设 $F_{max} = 30kHz$, $F_{min} = 1kHz$, 每个非线性加速时间段内取 10 个脉冲，以平滑加减速，即可防止丢步，又能快速响应。

4.2 状态锁定自校准算法

在系统处理完用户指令后，进入角度锁定状态。在此期间，程序时刻获取系统基准面(底盘)的三维空间的角度变化信息，当角度和锁定的初始状态不一致发生改变时，根据解算得到的角度偏移量，计算出反馈给电机的旋转量，及时的控制电机向和偏移方向相反的效果运动，从而做到云台角度的自校准锁定。比如，在锁定模式开始时，初始状态云台的偏航角为 a 。在实时获取角度的过程中，如果检测到偏航角为 b , 此时则需要向电机发送动作指令，产生和角度变化量 $(b-a)$ 对应的脉冲信号，进行角角度偏移的校正。

5 片上外设资源使用

5.1 通用输入/输出接口(GPIO)

本设计中通用输入/输出接口（GPIO）是使用最多的资源，其中包括驱动器的脉冲宽度调制（PWM）信号、方向控制信号、OLED 的指令和数据传输、以及按键的输入读取。

5.1.1 按键

板上按键使用 GPIO 输入中断的方式进行按键的触发和识别，使用的端口定义见表 3。

表 3 按键对应的 GPIO 口端口定义



KEY	K3	K4	K5	K7
PIN	PA30	PA29	PA28	PA27

5.1.2 串行外设接口（SPI）

OLED 显示屏使用串行外设接口（SPI）协议与主控制器进行通信作为人机交互界面，显示控制器运行状态。本设计使用 GPIO 模拟 SPI 的通信方式，具体方法是用 GPIO 模拟通信端口和时钟线反转电平并进行延时以模仿 SPI 的行为。除信号线外，还需要一个复位信号(Reset)。具体使用的 GPIO 端口如表 4 所示。

表 4 用于与 OLED 连接的 GPIO 端口定义表

OLED	SPI_CLK	SPI_NS	SPI_MISO	SPI_MOSI	RST
PIN	PA17	NC	PA16	PA12	PA14

5.1.3 脉冲宽度调制信号（PWM）

产生步进电机需要的 PWM 脉冲信号有两种方案：

一是使用硬件 PWM 发生器，优点为频率高且占空比可调，缺点为脉冲需要软件计数；二是使用 GPIO 口定时反转电平产生 PWM 波形，优点为脉冲数可记、频率与占空比易调。本设计选用方案二，使用基于内核时钟计数中断编写的 μs 级延时，无剑 100 SoC 的 GPIO 电平可以实现快速反转满足步进驱动所需频率（10kHz），实测最高可达50kHz。10Khz脉冲示意图如图 13 所示。GPIO 端口定义如表 5 所示。

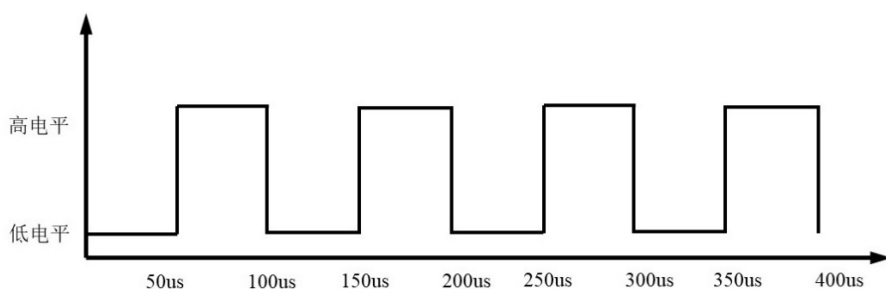


图 13 脉冲示意图

表 5 步进电机驱动器连接的 GPIO 端口定义表

PIN	Motor1	Motor2
-----	--------	--------



PWM+	PA13	PA6
PWM-	GND	GND
DIR+	PA11	PA4
DIR-	GND	GND
EN+	PA9	PA2
EN-	GND	GND

5.2 异步串行传输（USART）

本设计使用端口 USART0 外接蓝牙串口模块 HC06 与上位机（手机、电脑等设备）通信，使用 USART1 连接九轴 IMU WT931。串口采用中断方式从 FIFO 中读取来自上位机发送的自定义指令，指令格式定义如表 7 所示^[13]。

表 7 蓝牙指令格式

指令（7 个字符）	意义
M/L	指令校验：
	M: Move
	L: Lockd
+/-（首字符）	电机旋转方向：
	+: 定义方向顺时针旋转
	-: 定义方向逆时针旋转
xxxx(中间 4 个字符)	脉冲数量：
	0~9999
1/2（尾字符）	动作电机位置：
	1: top motor
	2: bottom motor

指令解析流程如图 14 所示。当中央控制器接收到来自上位机发送的指令后首先进行校验，通过判断首位字符，确定是移动还是锁定，校验通过后首先把字符转化为对应的整数，结合首位字符，生成有符号数代表脉冲数和方向；随后解析末位字符，判断目标电机的位置。解析完成后，回传上位机指令。

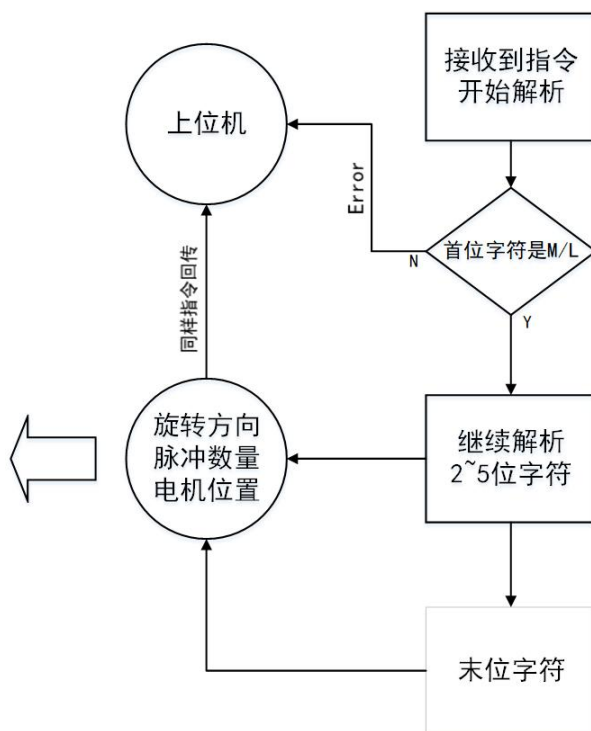


图 14 蓝牙指令解析流程图

6 结语

“济小台”基于步进电机设计具有功率高、精度高且无累计误差、启停响应快、控制算法简单的优点；使用 $DC \pm 12V$ 输入，使用电池或直流电源供电，运行电流不超过 $1A$ ，具有功率低、移动性强的优点；状态锁定自校准功能确保云台能够按照用户目标保持稳定，降低外界干扰；其次在整个设计中仅使用到与步进电机控制、按键和 OLED 相关的 14 个通用输入/输出接口与 2 个异步串行传输通讯接口，节省算力与资源，为其他应用外设可以分配出更充足的开发空间。

无剑 100 作为一款开源的基于 RISC-V 指令集的 SoC 平台，其功耗低、占用资源少、轻量、开发简便。在使用的过程中，本团队总结经验编写了英文的功能使用手册，并公开发布在 [jiayi's Blog](https://jiaoyi.com) 上以供更多同学和开发者参考^[8, 14-21]。

参考文献

- [1] 罗世伟. 视频监控系统操作与维护[M]. 北京：电子工业出版社，2019 年 06 月.
- [2] 平头哥半导体有限公司. wujian100_open User Guide v1.0[EB/OL]. 2020-06-22.



https://github.com/T-head-Semi/wujian100_open

[3] 平头哥半导体有限公司. XC7A-FPGA 开发板用户手册 (FMX7AR3B). v1.0[EB/OL]. 2020-06-22. <https://occ.t-head.cn/community/>

[4] 平头哥半导体有限公司. FMX7AR3B-Schematic[EB/OL]. 2020-06-22. <https://occ.t-head.cn/community/>

[5] 汇承科技有限公司. HC-06 V2.0 蓝牙串口通信模块用户手册[EB/OL]. 2020-03-13. <https://wenku.baidu.com/view/23d996bfdbef5ef7ba0d4a7302768e9951e76e06.html?re=view>

[6] 维特智能. WT931 姿态角度传感器说明书[EB/OL]. 2020-03-13. <http://wiki.wit-motion.com/doku.php?id=wt931%E8%B5%84%E6%96%99#wt931%E8%B5%84%E6%96%99>

[7] Lianglonghui. wujian100_open 的 FPGA 实现——如何用 vivado 生成 wujian100 的比特流文件 [EB/OL]. 2020-06-22. <https://occ.t-head.cn/community/post/detail?spm=a2c15.14300636.0.0.429d180fL0W0E8&id=654091577878118400>

[8] LI Jiayi. FPGA Development with wujian100 SoC - Part One: Bitstream Generation[EB/OL]. 2020-03-25. <https://shieldjy.github.io/post/FPGA-Development-with-WJ100-SoC-P1.html>

[9] 冯涛, 李擎, 潘月斗, 冯永锋, 潘奕琛. 步进电机梯形加减速曲线规划控制实验系统设计[J]. 煤矿机械, 2020, 41(07):23-25.

[10] 邢然, 郑国昆, 任晓伟, 丁保民. 步进电机加减速曲线设计方法研究[J]. 工程建设与设计, 2018(06):48-49+85.

[11] 陈祖霖, 黄峰, 吴靖, 沈英. 步进电机 S 曲线调速控制研究[J]. 福州大学学报(自然科学版), 2019, 47(05):640-645.

[12] 陈金龙. 步进电机多段 S 曲线加减速控制研究与设计[J]. 电子世界, 2020(08):112-113.

[13] Edwin. wujian100 编程——串口应用 [E]. 2020-04-26. <https://verimake.com/topics/113>

[14] LI Jiayi. FPGA Development with wujian100 SoC - Part Two: CDK Toolkit and wujian100 SDK[EB/OL]. 2020-03-27. <https://shieldjy.github.io/post/FPGA-Development-with-WJ100-SoC-P2.html>.

[15] LI Jiayi. FPGA Development with wujian100 SoC - Part Three: Start a New



Project on CDK[EB/OL]. 2020-03-29. <https://shieldjy.github.io/post/FPGA-Development-with-WJ100-SoC-P3.html>.

[16] LI Jiayi. FPGA Development with wujian100 SoC - Part Four: Hello World[EB/OL]. 2020-03-31. <https://shieldjy.github.io/post/FPGA-Development-with-WJ100-SoC-P4.html>.

[17] LI Jiayi. FPGA Development with wujian100 SoC - Part Five: GPIO[EB/OL]. 2020-04-06. <https://shieldjy.github.io/post/FPGA-Development-with-WJ100-SoC-P5.html>.

[18] LI Jiayi. FPGA Development with wujian100 SoC - Part Six: UART[EB/OL]. 2020-04-08. <https://shieldjy.github.io/post/FPGA-Development-with-WJ100-SoC-P6.html>.

[19] LI Jiayi. FPGA Development with wujian100 SoC - Part SEVEN: TIMER[EB/OL]. 2020-04-09. <https://shieldjy.github.io/post/FPGA-Development-with-WJ100-SoC-P7.html>.

[20] LI Jiayi. FPGA Development with wujian100 SoC - Part EIGHT: Interrupt(VIC)[EB/OL]. 2020-04-13. <https://shieldjy.github.io/post/FPGA-Development-with-WJ100-SoC-P8.html>.

[21] LI Jiayi. FPGA Development with wujian100 SoC - Part Ten: Add On-Board Buttons to SoC[EB/OL]. 2020-08-08. <https://shieldjy.github.io/post/FPGA-Development-with-WJ100-SoC.html>